

$^{192}\text{Os}(^{82}\text{Se}, X\gamma)$  2004Po06

Type	Author	History	Citation	Literature Cutoff Date
Full Evaluation	Balraj Singh, <sup>1</sup> and Jun Chen <sup>2</sup>		NDS 169,1 (2020)	15-Oct-2020

**2004Po06:** E=460 MeV  $^{82}\text{Se}$  beam was produced at the Legnaro National Laboratory.  $\gamma$  rays were detected with the  $4\pi$  GASP array of 40 Compton-suppressed Ge detectors and an inner BGO ball. Measured  $E_\gamma$ ,  $\gamma\gamma$ -coin. Deduced levels, J,  $\pi$ , band structures. See also [2006Mo40](#).

 $^{190}\text{Os}$  Levels

<u>E(level)<sup>†</sup></u>	<u>J<math>\pi</math><sup>‡</sup></u>	<u>E(level)<sup>†</sup></u>	<u>J<math>\pi</math><sup>‡</sup></u>	<u>E(level)<sup>†</sup></u>	<u>J<math>\pi</math><sup>‡</sup></u>
0 <sup>#</sup>	0 <sup>+</sup>	1667 <sup>#</sup>	8 <sup>+</sup>	4013 <sup>&amp;</sup>	16 <sup>+</sup>
187 <sup>#</sup>	2 <sup>+</sup>	2358 <sup>#</sup>	10 <sup>+</sup>	4498 <sup>@</sup>	18 <sup>+</sup>
548 <sup>#</sup>	4 <sup>+</sup>	2758 <sup>&amp;</sup>	12 <sup>+</sup>	4810 <sup>@</sup>	19 <sup>+</sup>
1051 <sup>#</sup>	6 <sup>+</sup>	3347 <sup>&amp;</sup>	14 <sup>+</sup>	5248 <sup>@</sup>	20 <sup>+</sup>
				5834 <sup>@</sup>	21 <sup>+</sup>

<sup>†</sup> From  $E_\gamma$  data.

<sup>‡</sup> As given in [2004Po06](#), based on band assignments and known assignments for low-lying states.

<sup>#</sup> Band(A): g.s. band.

<sup>@</sup> Band(B):  $\Delta J=1$  band, based on 18<sup>+</sup>.

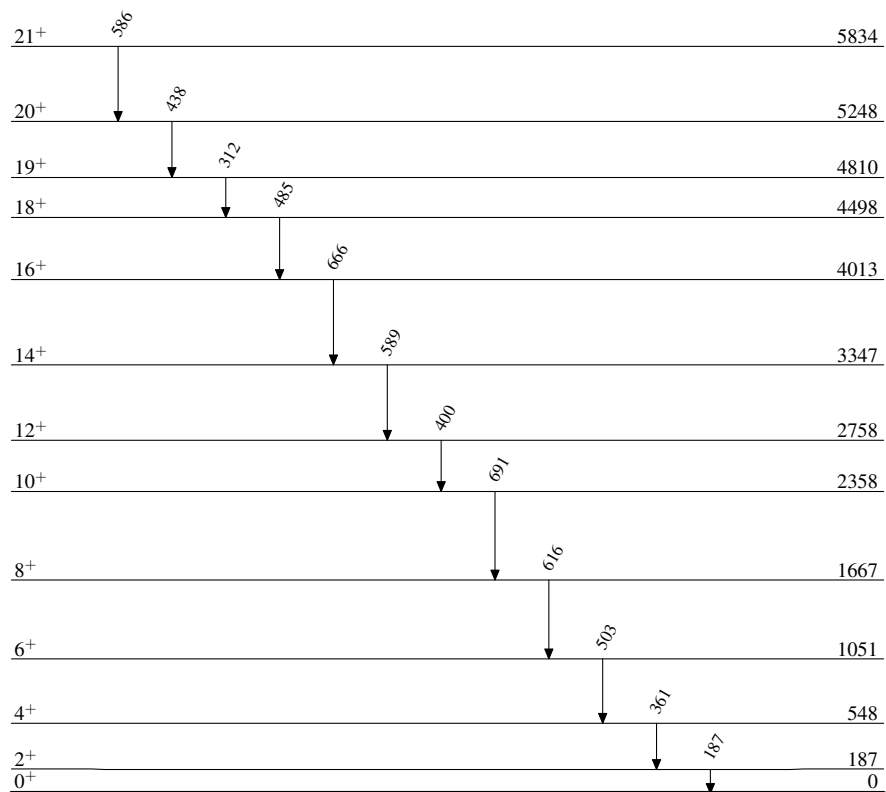
<sup>&</sup> Band(C): t-band.

 $\gamma(^{190}\text{Os})$ 

<u><math>E_\gamma</math></u>	<u><math>E_i(\text{level})</math></u>	<u><math>J_i^\pi</math></u>	<u><math>E_f</math></u>	<u><math>J_f^\pi</math></u>	<u><math>E_\gamma</math></u>	<u><math>E_i(\text{level})</math></u>	<u><math>J_i^\pi</math></u>	<u><math>E_f</math></u>	<u><math>J_f^\pi</math></u>	<u><math>E_\gamma</math></u>	<u><math>E_i(\text{level})</math></u>	<u><math>J_i^\pi</math></u>	<u><math>E_f</math></u>	<u><math>J_f^\pi</math></u>
187	187	2 <sup>+</sup>	0	0 <sup>+</sup>	438	5248	20 <sup>+</sup>	4810	19 <sup>+</sup>	589	3347	14 <sup>+</sup>	2758	12 <sup>+</sup>
312	4810	19 <sup>+</sup>	4498	18 <sup>+</sup>	485	4498	18 <sup>+</sup>	4013	16 <sup>+</sup>	616	1667	8 <sup>+</sup>	1051	6 <sup>+</sup>
361	548	4 <sup>+</sup>	187	2 <sup>+</sup>	503	1051	6 <sup>+</sup>	548	4 <sup>+</sup>	666	4013	16 <sup>+</sup>	3347	14 <sup>+</sup>
400	2758	12 <sup>+</sup>	2358	10 <sup>+</sup>	586	5834	21 <sup>+</sup>	5248	20 <sup>+</sup>	691	2358	10 <sup>+</sup>	1667	8 <sup>+</sup>

$^{192}\text{Os}(^{82}\text{Se},\text{X}\gamma)$  2004Po06

## Level Scheme

 $^{190}_{76}\text{Os}_{114}$

$^{192}\text{Os}(^{82}\text{Se}, X\gamma)$  2004Po06